

УДК 539.374

ОБОБЩЕНИЕ ЗАДАЧИ ПРАНДТЛЯ НА МОДЕЛИ ПОЛЗУЧЕСТИ

С. Е. Александров, Е. А. Лямина, Н. М. Туан*

Институт проблем механики им. А. Ю. Ишлинского РАН, 119526 Москва, Россия

* Институт механики, 264 Ханой, Вьетнам

E-mails: sergei_alexandrov@yahoo.com, lyamina@inbox.ru, nmtuan@imech.ac.vn

Строится приближенное решение задачи о сжатии бесконечного слоя материала между шероховатыми параллельными плитами при выполнении уравнений теории ползучести. Принимаются определяющие соотношения, в соответствии с которыми эквивалентное напряжение стремится к конечной величине при стремлении эквивалентной скорости деформации к бесконечности. Исследуется поведение решения в окрестности поверхности максимального трения. Показано, что существование решения зависит от одного из параметров, входящих в определяющие уравнения. Если решение существует, то эквивалентная скорость деформации стремится к бесконечности в окрестности поверхности максимального трения, причем асимптотическое поведение решения зависит от того же параметра. Установлено, что существует диапазон значений этого параметра, в котором характер изменения эквивалентной скорости деформации вблизи поверхности максимального трения такой же, как в решениях для идеально жесткопластических материалов.

Ключевые слова: ползучесть, задача Прандтля, бесконечный слой материала, поверхность трения.

Задача о сжатии слоя между параллельными шероховатыми плитами является одной из наиболее известных задач теории пластичности. Впервые решение такой задачи для идеально жесткопластического материала в случае квазистатического течения получено в [1, 2]. Имеются многочисленные обобщения этого решения на более сложные модели материала и более общие условия деформирования. В работах [3–15] рассматривались решения для случая плоскодеформированного состояния. В частности, в [3] применялась модель ползучести, в [4, 8, 14] учитывались силы инерции при сжатии идеально жесткопластического материала, в [5] предполагалось, что предел текучести материала варьируется по толщине полосы произвольно, в [6] рассматривался анизотропный упрочняющийся материал при малых деформациях, в [7] принималась модель с условием текучести, зависящим от среднего напряжения, предложенная в [16], в [9] по отдельности анализировалось влияние упрочнения и пластической анизотропии при больших деформациях, в [10] получено решение в случае вязкопластического материала, в [11, 12] исследовано изменение температуры в пластическом слое, в [13–15] рассматривались слои, состоящие из разных материалов.

Работа выполнена при финансовой поддержке Российского фонда фундаментальных исследований (код проекта 13-01-93000-Вьет.а), Совета по грантам Президента РФ для государственной поддержки ведущих научных школ РФ (грант № НШ-3842.2012.1) и Вьетнамской академии наук и технологий (код проекта VAST.HTQT.Nga.05/13-14).

© Александров С. Е., Лямина Е. А., Туан Н. М., 2014

Однако далеко не все из указанных решений сохраняют все математические свойства оригинального решения [1, 2]. Главное отличие возникает при использовании закона максимального трения. Точная формулировка этого закона зависит от модели материала. В случае жесткопластических материалов, в определяющие уравнения которых не входит среднее напряжение, в соответствии с законом максимального трения при проскальзывании площадка максимального касательного напряжения должна совпадать с поверхностью трения.

Проведем анализ решений с использованием моделей, учитывающих вязкость материала. В этом случае пределы текучести зависят от эквивалентной скорости деформации (второй инвариант тензора скорости деформации). Соответствующие решения предложены в [3, 10]. Закон максимального трения использовался только в [10], причем этот закон получен как частный случай более общего закона, при котором и строится решение. Однако, подставляя в это решение условия, соответствующие закону максимального трения, можно показать, что при таком законе трения решения не существует. В решении [3] предполагается, что удельные силы трения равны некоторой постоянной величине. Однако в данном случае постоянная величина, входящая в закон трения, должна быть связана с некоторыми параметрами, входящими в определяющие уравнения. От этой связи зависит поведение решения. Такое исследование в [3] не проводилось. Таким образом, обобщение решения Прандтля на модели ползучести фактически отсутствует (если считать, что в решении Прандтля должен выполняться закон максимального трения). Это обусловлено тем, что решение Прандтля и его обобщения основаны на ряде гипотез, анализ которых представлен в [17]. В частности, эти гипотезы не допускают существования режима прилипания на поверхности максимального трения, а общий анализ уравнений некоторых моделей ползучести показывает, что именно режим прилипания должен выполняться на такой поверхности [18]. Однако доказательство [18] имеет силу только для моделей, которые включают уравнение связи между эквивалентной скоростью деформации ξ_{eq} и эквивалентным напряжением σ_{eq} , обладающее свойством $\sigma_{eq} \rightarrow \infty$ при $\xi_{eq} \rightarrow \infty$. Такие уравнения часто используются при моделировании процессов обработки металлов давлением при высокой температуре [19]. Однако в [20] на основе анализа большого количества экспериментальных данных показано, что для многих материалов имеет место соотношение

$$\frac{\xi_{eq}}{\xi_0} = \frac{(\sigma_{eq} - \sigma_0)^n}{(\sigma_b - \sigma_{eq})^n}. \quad (1)$$

Здесь ξ_0 , σ_0 , σ_b и $n > 0$ — постоянные материала; величина σ_{eq} изменяется в интервалах $\sigma_0 \leq \sigma_{eq} \leq \sigma_b$. Из (1) следует, что $\xi_{eq} \rightarrow \infty$ при $\sigma_{eq} \rightarrow \sigma_b$. Таким образом, доказательство [18] для такой модели ползучести не имеет силы. Представляет интерес построение решения задачи Прандтля в условиях ползучести с использованием зависимости (1).

Геометрическая схема процесса показана на рисунке. Толщина слоя равна $2h$, ширина — $2L$. Слой сжимается двумя сближающимися плитами, скорость каждой из которых равна U . Введем декартову систему координат (x, y) , оси которой совпадают с осями симметрии задачи (см. рисунок). Таким образом, достаточно построить решение в области $0 \leq x \leq L$, $0 \leq y \leq h$. Рассматривается мгновенное напряженно-деформированное состояние в случае плоского течения.

В декартовых координатах система уравнений включает зависимость (1), уравнения равновесия и уравнения, следующие из закона течения:

$$\frac{\partial \sigma_{xx}}{\partial x} + \frac{\partial \sigma_{xy}}{\partial y} = 0, \quad \frac{\partial \sigma_{xy}}{\partial x} + \frac{\partial \sigma_{yy}}{\partial y} = 0; \quad (2)$$

$$\frac{\xi_{xx} - \xi_{yy}}{\xi_{xy}} = \frac{\sigma_{xx} - \sigma_{yy}}{\sigma_{xy}}, \quad \xi_{xx} + \xi_{yy} = 0. \quad (3)$$

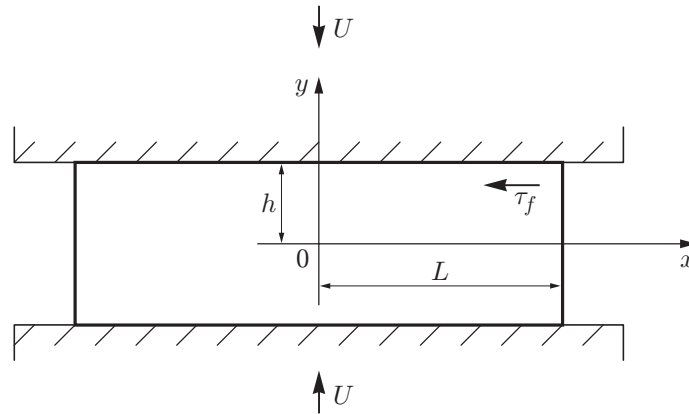


Схема сжатия бесконечного слоя материала между параллельными плитами

Здесь $\sigma_{xx}, \sigma_{yy}, \sigma_{xy}$ — компоненты тензора напряжения; $\xi_{xx}, \xi_{yy}, \xi_{xy}$ — компоненты тензора скорости деформации. Остальные компоненты тензора скорости деформации равны нулю. Нормальное напряжение в направлении, перпендикулярном плоскости течения, является одним из главных напряжений и равно среднему напряжению. Поэтому выражения для эквивалентной скорости деформации и эквивалентного напряжения представляются в виде

$$\xi_{eq} = \sqrt{\frac{2}{3}} (\xi_{xx}^2 + \xi_{yy}^2 + 2\xi_{xy}^2)^{1/2}, \quad \sigma_{eq} = \frac{\sqrt{3}}{2} (\sigma_{xx} - \sigma_{yy} + 4\sigma_{xy}^2)^{1/2}. \quad (4)$$

Краевые условия имеют следующую форму:

$$y = 0: \quad u_y = 0; \quad (5)$$

$$y = h: \quad u_y = -U; \quad (6)$$

$$y = 0, \quad x = 0, \quad x = L: \quad \sigma_{xy} = 0; \quad (7)$$

$$y = h: \quad \sigma_{xy} = -\sigma_b/\sqrt{3}; \quad (8)$$

$$x = L: \quad \sigma_{xx} = 0; \quad (9)$$

$$x = 0: \quad u_x = 0. \quad (10)$$

Условие (8) выражает закон максимального трения при проскальзывании. Ниже показано, что предложенная выше формулировка закона максимального трения эквивалентна уравнению (8) для выбранной модели материала. Выбор знака в (8) обусловлен тем, что материал течет в направлении, совпадающем с положительным направлением оси x . Как и в решении Прандтля, а также в его обобщениях, не все перечисленные условия выполняются точно. В частности, при $x = 0$ и $x = L$ условие (7) не учитывается вследствие малости касательного напряжения по сравнению с нормальными. Условия (9), (10) заменяются интегральными условиями вида

$$\int_0^h \sigma_{xx}|_{x=L} dy = 0; \quad (11)$$

$$\int_0^h u_x|_{x=0} dy = 0 \quad (12)$$

соответственно.

Представим выражения для напряжений в виде

$$\sigma_{xx} = \sigma + \frac{\sigma_{eq}}{\sqrt{3}} \cos 2\psi, \quad \sigma_{yy} = \sigma - \frac{\sigma_{eq}}{\sqrt{3}} \cos 2\psi, \quad \sigma_{xy} = -\frac{\sigma_{eq}}{\sqrt{3}} \sin 2\psi. \quad (13)$$

Здесь σ — среднее напряжение; ψ — угол между направлением действия максимального главного напряжения и осью x . Из физического смысла задачи следует, что $\sigma_{xy} \leq 0$ и $\sigma_{xx} - \sigma_{yy} \geq 0$. Тогда из (13) получаем

$$0 \leq \psi \leq \pi/4. \quad (14)$$

С использованием (3), (13), (14) выражение для эквивалентной скорости деформации, введенной в (4), преобразуется к виду

$$\xi_{eq} = \frac{2}{\sqrt{3}} \frac{\xi_{xx}}{\cos 2\psi}, \quad (15)$$

где учтено, что $\xi_{xx} > 0$. Если на поверхности трения выполняется условие проскальзывания, то $\xi_{xx} \neq 0$ при $y = h$. Закон максимального трения в первоначальной формулировке имеет вид $\psi = \pi/4$ при $y = h$. Тогда из (15) получаем $\xi_{eq} \rightarrow \infty$, а из (1) — $\sigma_{eq} \rightarrow \sigma_b$ при $y \rightarrow h$. Таким образом, из (13) следует, что при $y = h$ условие $\psi = \pi/4$ эквивалентно (8).

При построении приближенного решения рассматриваемой краевой задачи одним из основных предположений является независимость угла ψ от x . Согласно кинематическому предположению зависимость проекции скорости u_y от y является линейной. Учитывая краевые условия (5), (6), получаем

$$u_y = -U \frac{y}{h}. \quad (16)$$

Тогда при использовании второго уравнения системы (3) выражения для нормальных скоростей деформации принимают вид

$$\xi_{yy} = \frac{\partial u_y}{\partial y} = -\frac{U}{h}, \quad \xi_{xx} = -\xi_{yy} = \frac{U}{h}. \quad (17)$$

Из (1), (15), (17) следует, что эквивалентное напряжение не зависит от x . Поэтому, подставляя (13) в уравнения равновесия (2), получаем

$$\sqrt{3} \frac{\partial \sigma}{\partial x} - \frac{d(\sigma_{eq} \sin 2\psi)}{dy} = 0, \quad \sqrt{3} \frac{\partial \sigma}{\partial y} - \frac{d(\sigma_{eq} \cos 2\psi)}{dy} = 0. \quad (18)$$

Из второго уравнения этой системы следует, что $\partial^2 \sigma / \partial x \partial y = 0$. Дифференцируя первое уравнение системы (18) по y , находим $d^2(\sigma_{eq} \sin 2\psi) / dy^2 = 0$. Решение этого уравнения имеет вид

$$\sigma_{eq} \sin 2\psi = \sigma_b C \frac{y}{h} + C_0, \quad (19)$$

где C , C_0 — постоянные интегрирования. Из (13), (14) следует, что при $y = 0$ краевое условие (7) эквивалентно условию $\psi = 0$. Подставляя это условие в (19), получаем $C_0 = 0$. Решение (19) принимает форму

$$\sigma_{eq} \sin 2\psi = \sigma_b C \frac{y}{h}. \quad (20)$$

Так как на поверхности максимального трения $\psi = \pi/4$, то из (8), (20) следует, что $C = 1$, поэтому (20) преобразуется к виду

$$\sigma_{eq} \sin 2\psi = \sigma_b \frac{y}{h}. \quad (21)$$

Разрешая уравнение (1) относительно σ_{eq} и затем исключая σ_{eq} в (21), находим

$$\left[k + \left(\frac{\xi_{eq}}{\xi_0} \right)^{1/n} \right] \sin 2\psi = \frac{y}{h} \left[1 + \left(\frac{\xi_{eq}}{\xi_0} \right)^{1/n} \right], \quad (22)$$

где $k = \sigma_0/\sigma_b < 1$. Из (15), (17) следует зависимость эквивалентной скорости деформации от ψ в форме

$$\xi_{eq} = \frac{2}{\sqrt{3}} \frac{U}{h \cos 2\psi}. \quad (23)$$

Учитывая, что $\xi_{xx} = \partial u_x / \partial x$, с использованием (17) определим проекцию скорости на ось x

$$u_x = \frac{U}{h} x + V(y), \quad (24)$$

где $V(y)$ — произвольная функция y . Исключая в первом уравнении системы (3) напряжения с помощью (13), нормальные скорости деформации с помощью (17), сдвиговую скорость деформации с помощью (16), (24) и соотношения $2\xi_{xy} = \partial u_x / \partial y + \partial u_y / \partial x$, получаем уравнение для функции $V(y)$ в виде $dV/dy = -(2U/h) \operatorname{tg} 2\psi$. После интегрирования имеем

$$V = -\frac{2U}{h} \int_0^y \operatorname{tg}(2\psi) dy + V_0, \quad (25)$$

где V_0 — произвольная постоянная. Подставляя (21) в первое уравнение системы (18) и интегрируя его, находим $\sqrt{3}\sigma = \sigma_b x h^{-1} + p(y)$. Исключая с помощью этого решения среднее напряжение во втором уравнении системы (18) и интегрируя его, получаем $p(y) = \sigma_{eq} \cos 2\psi + p_0$. Окончательно имеем

$$\sqrt{3}\sigma = \frac{\sigma_b x}{h} + \sigma_{eq} \cos 2\psi + p_0, \quad (26)$$

где p_0 — постоянная интегрирования. Подставляя (23) в (22), находим ψ как функцию y в неявном виде:

$$\frac{k(\cos 2\psi)^{1/n} + 2^{1/n}\varepsilon}{(\cos 2\psi)^{1/n} + 2^{1/n}\varepsilon} \sin 2\psi = \frac{y}{h}, \quad \varepsilon = \left(\frac{U}{\sqrt{3} h \xi_0} \right)^{1/n}. \quad (27)$$

Таким образом, из (1), (13), (26), (27) получаем распределение напряжений в параметрическом виде. Распределение скоростей находится из (16), (24), (25), если интеграл в (25) сходится. Постоянные V_0 , p_0 при необходимости определяются из краевых условий (11), (12).

Положим $z^n = \cos 2\psi$. Тогда с учетом (14) уравнение (27) преобразуется к форме

$$\frac{kz + 2^{1/n}\varepsilon}{z + 2^{1/n}\varepsilon} \sqrt{1 - z^{2n}} = \frac{y}{h}. \quad (28)$$

При $z \rightarrow 0$ по формуле бинома Ньютона получаем

$$\left[1 - (2^{1/n}\varepsilon)^{-1}(1 - k)z + o(z) \right] \left[1 - \frac{1}{2} z^{2n} + o(z^{2n}) \right] = \frac{y}{h}. \quad (29)$$

Целесообразно все возможные значения показателя степени n разделить на три группы: $n > 1/2$, $n = 1/2$, $n < 1/2$.

Если $n > 1/2$, то из (29) следует

$$z \rightarrow 0: \quad 1 - \frac{y}{h} = \frac{1 - k}{2^{1/n}\varepsilon} z + o(z), \quad (30)$$

а уравнение (23) принимает вид

$$y \rightarrow h: \quad \xi_{eq} = \frac{2}{\sqrt{3}} \frac{U}{h \cos 2\psi} = \frac{2}{\sqrt{3}} \frac{U}{hz^n} = \frac{U(1-k)^n}{\sqrt{3} h^{1-n} \varepsilon^n (h-y)^n} + o[(h-y)^{-n}]. \quad (31)$$

Если $n < 1/2$, то из (29) следует

$$z \rightarrow 0: \quad 1 - \frac{y}{h} = \frac{1}{2} z^{2n} + o(z^{2n}), \quad (32)$$

а уравнение (23) принимает вид

$$y \rightarrow h: \quad \xi_{eq} = \frac{2}{\sqrt{3}} \frac{U}{h \cos 2\psi} = \frac{2}{\sqrt{3}} \frac{U}{hz^n} = \frac{\sqrt{2}}{\sqrt{3}} \frac{U}{h^{1/2}(h-y)^{1/2}} + o[(h-y)^{-1/2}]. \quad (33)$$

Если $n = 1/2$, то из (29) следует

$$z \rightarrow 0: \quad 1 - \frac{y}{h} = \frac{1}{2} \left(1 + \frac{1-k}{2\varepsilon}\right) z + o(z), \quad (34)$$

а уравнение (23) принимает вид

$$\begin{aligned} y \rightarrow h: \quad \xi_{eq} &= \frac{2}{\sqrt{3}} \frac{U}{h \cos 2\psi} = \frac{2}{\sqrt{3}} \frac{U}{hz^{1/2}} = \\ &= \frac{\sqrt{2}}{\sqrt{3}} \frac{U}{h^{1/2}(h-y)^{1/2}} \left(1 + \frac{1-k}{2\varepsilon}\right)^{1/2} + o[(h-y)^{-1/2}]. \end{aligned} \quad (35)$$

В рассматриваемом случае $s = h - y$ — расстояние до поверхности максимального трения. Из (33), (35) следует, что при $n \leq 1/2$ асимптотическое представление эквивалентной скорости деформации в окрестности поверхности максимального трения имеет вид $\xi_{eq} = Ds^{-1/2} + o(s^{-1/2})$, $s \rightarrow 0$. Это представление совпадает с представлением, полученным в [21] для идеально жесткопластического материала. В [21] величина D называется коэффициентом интенсивности скорости деформации. Из (33) следует, что при $n < 1/2$ коэффициент интенсивности скорости деформации для модели ползучести (1) совпадает с соответствующим коэффициентом для идеально жесткопластического материала [22] и равен $D = \sqrt{2/3} U h^{-1/2}$. При $n = 1/2$ коэффициент интенсивности скорости деформации зависит от свойств материала. Из (35) следует

$$D = \sqrt{\frac{2}{3}} \frac{U}{h^{1/2}} \left(1 + \frac{1-k}{2\varepsilon}\right)^{1/2}.$$

При $n > 1/2$ асимптотическое представление эквивалентной скорости деформации вблизи поверхности максимального трения не совпадает с представлением, приведенным в [21]. В частности, из (31) находим

$$s \rightarrow 0: \quad \xi_{eq} = Ds^{-n} + o(s^{-n}), \quad D = \frac{U(1-k)^n}{\sqrt{3} h^{1-n} \varepsilon^n}.$$

Величину D в этом соотношении также можно называть коэффициентом интенсивности скорости деформации. Однако следует учитывать, что размерность этой величины не совпадает с размерностью коэффициента интенсивности скорости деформации, введенного в [21].

Так как при $y \rightarrow h$ $\xi_{eq} \rightarrow \infty$, то необходимо показать, что мощность внутренних сил ограничена в некоторой конечной области в окрестности поверхности трения. Поскольку $\sigma_{eq} < \infty$, достаточно рассмотреть интеграл

$$J = \int_{h-\Delta h}^h \xi_{eq} dy < \infty, \quad \Delta h > 0. \quad (36)$$

Из (30), (34) следует, что при $n \geq 1/2$ в окрестности поверхности трения $dy = -A dz$, причем $A > 0$. Тогда, подставляя (31), (35) в (36), можно показать, что интеграл J сходится при $n < 1$. Из (32) следует, что при $n < 1/2$ в окрестности поверхности трения $dy = -A_1 z^{2n-1} dz$, причем $A_1 > 0$. Тогда, подставляя (33) в (36), можно показать, что интеграл J сходится. Таким образом, представления (33) и (35) имеют силу при всех n в интервале $0 < n \leq 1/2$, а представление (31) — при $1/2 < n < 1$. Следует отметить, что последнее неравенство не является ограничением на модель (1). При $n \geq 1$ невозможно получить приближенное решение поставленной краевой задачи с использованием общепринятых гипотез. Для такой модели материала в соответствии с законом максимального трения должно выполняться условие прилипания. Это невозможно при использовании предположения (16) для проекции скорости на ось y , из которого следует соотношение (24), показывающее, что $u_x \neq 0$ при $y = h$. В соответствии с представлением (23) интеграл в (25) сходится при тех же условиях, при которых сходится интеграл J .

Для чистых металлов $n \approx 3$ [20]. Таким образом, для этого класса материалов на поверхности максимального трения возникает режим прилипания, поэтому при использовании общепринятых гипотез обобщение решения Прандтля не может быть построено. Для конструкционных сплавов $n \approx 1$ [20]. Значение $n = 1$ соответствует границе, разделяющей модели ползучести на два класса. При $n \geq 1$ на поверхности максимального трения имеет место прилипание, а при $n < 1$ возможен режим проскальзывания, реализующийся в случае, если выполняются условия, при которых обобщение приближенного решения Прандтля имеет силу. Очевидно, что точность определения величины n в эксперименте недостаточна для того, чтобы установить, больше или меньше единицы эта величина. Однако результаты выполненного анализа показывают, что точность определения величины n может существенно влиять на поведение решения вблизи поверхностей с большими удельными силами трения. Таким образом, косвенные экспериментальные данные могут быть использованы при выборе оптимального интервала, в котором нужно задавать величину n для данного материала. В частности, при осадке достаточно тонкой полосы без смазки необходимо определить экспериментально, имело ли место проскальзывание на поверхности трения. Если имело, то целесообразно выбрать n из интервала $n < 1$, в противном случае — из интервала $n \geq 1$.

ЛИТЕРАТУРА

1. Prandtl L. Anwendungsbeispiele zu einem Henckyschen Salz uber das plastische Gleichgewicht // Zangew. Math. Mech. 1923. Bd 3. S. 401–406.
2. Хилл Р. Математическая теория пластичности. М.: Гостехтеоретиздат, 1956.
3. Качанов Л. М. Ползучесть тонкого слоя, сжимаемого жесткими плитами // Изв. АН СССР. Механика и машиностроение. 1960. № 6. С. 138–140.
4. Быковцев Г. И. О сжатии пластического слоя жесткими шероховатыми плитами с учетом сил инерции // Изв. АН СССР. Механика и машиностроение. 1960. № 6. С. 140–142.
5. Кузнецов А. И. Задача о неоднородном пластическом слое // Arch. Mech. Stos. 1960. V. 12. P. 163–172.
6. Дудукаленко В. В., Ивлев Д. Д. О сжатии полосы из упрочняющегося пластического материала жесткими шероховатыми плитами // Докл. АН СССР. 1963. Т. 153, № 5. С. 1024–1026.
7. Marshall E. A. The compression of a slab of ideal soil between rough plates // Acta Mech. 1967. V. 3. P. 82–92.
8. Najjar J. Inertia effects in the problem of compression of a perfectly plastic layer between two rigid plates // Arch. Mech. Stos. 1967. V. 19. P. 129–149.

9. **Collins I. F., Meguid S. A.** On the influence of hardening and anisotropy on the plane-strain compression of thin metal strip // *Trans. ASME. J. Appl. Mech.* 1977. V. 44. P. 271–278.
10. **Adams M. J., Briscoe B. J., Corfield G. M., et al.** An analysis of the plane-strain compression of viscoplastic materials // *Trans. ASME. J. Appl. Mech.* 1997. V. 64. P. 420–424.
11. **Nepershin R. I.** Non-isothermal plane plastic flow of a thin layer compressed by flat rigid dies // *Intern. J. Mech. Sci.* 1997. V. 39. P. 899–912.
12. **Непершин Р. И.** Влияние теплопередачи на неизотермическое плоское пластическое течение при сжатии тонкой заготовки между плоскими штампами // *Пробл. машиностроения и надежности машин.* 1997. № 1. С. 96–103.
13. **Alexandrov S., Mishuris G., Miszuris W.** An analysis of the plane-strain compression of a three layer strip // *Arch. Appl. Mech.* 2001. V. 71, N 8. P. 555–566.
14. **Кийко И. А.** Обобщение задачи Л. Прандтля о сжатии полосы // *Вестн. Моск. гос. ун-та. Сер. 1. Математика, механика.* 2003. № 4. С. 50–56.
15. **Alexandrov S., Tzou G.-Y., Huang M.-N.** Plane strain compression of rigid/perfectly plastic multi-layer strip between parallel platens // *Acta Mech.* 2006. V. 184. P. 103–120.
16. **Spencer A. J. M.** A theory of the kinematics of ideal soils under plane strain conditions // *J. Mech. Phys. Solids.* 1964. V. 12. P. 337–351.
17. **Георгиевский Д. В.** Асимптотические разложения и возможности отказа от гипотез в задаче Прандтля // *Изв. РАН. Механика твердого тела.* 2009. № 1. С. 83–93.
18. **Александров С. Е., Данилов В. Л., Чиканова Н. Н.** О зоне торможения при моделировании осесимметричных процессов обработки металлов давлением в условиях ползучести // *Изв. РАН. Механика твердого тела.* 2000. № 1. С. 149–151.
19. **Малинин Н. Н.** Ползучесть в обработке металлов. М.: Машиностроение, 1986.
20. **Шестериков С. А., Юмашева М. А.** Конкретизация уравнения состояния в теории ползучести // *Изв. АН СССР. Механика твердого тела.* 1984. № 1. С. 86–91.
21. **Alexandrov S., Richmond O.** Singular plastic flow fields near surfaces of maximum friction stress // *Intern. J. Non-Linear Mech.* 2001. V. 36, N 1. P. 1–11.
22. **Alexandrov S.** The strain rate intensity factor and its applications: a review // *Mater. Sci. Forum.* 2009. V. 623. P. 1–20.

Поступила в редакцию 30/V 2013 г.
